2. TAGUNG FEINWERKTECHNISCHE KONSTRUKTIONEN

DRESDEN 2008

ENTWICKLUNG NEUARTIGER FLIUDISCHER AKTOREN NACH BIOLOGISCHEM VORBILD



Univ. Doz. Dr.-Ing. Antal Huba
Technische und Wirtschaftswissenschaftliche
Universität Budapest
Lehrstuhl für Mechatronik, Optik und Informatik im
Maschinenbau

Inhalt

EINFÜHRUNG

SILICONGUMMI ALS KONSTRUKTIONSMATERIAL?

SONDE NACH BIOLOGISCHEM PRINZIP

- ·Bewegungsform "bionisch"
- •FEM Modellierung des Aktuators
- •Simulation und Kontrolle der mechanischen Stabilität

HOCHELASTISCHER ROBOTERGREIFER

EINIGE WEITERE BEISPIELE (falls noch Zeit wäre)

KONKLUSIONEN

Einführung

- Silicongummi bietet aufgrund seiner speziellen mechanischen, elektrischen, optischen und biochemischen Eigenschaften neue Perspektiven für die feinwerktechnischen Konstruktionen- einschließlich Sensortechnik und für die Medizintechnik.
- Der Lehrstuhl für Mechatronik, Optik und Informatik im Maschinenbau (gegründet in 1957 als Lst für Feinwerktechnik) der TU Budapest entwickelt seit mehreren Jahren zusammen mit Partnerinstituten der Semmelweis Universität für Medizin spezielle Instrumente aus Silicongummi für medizintechnische Anwendungen.
- Dieser Vortrag bietet Einblick auf zwei Anwendungsgebiete

Anwendungen von Silikonen in der Feinwerktechnik und in der Medizintechnik

Herkömmliche Anwendungen in der Feinwerktechnik:

- · Untergeordnete oder ergänzende Rolle, als Kleb-und Füllstoff
- ·Trägermateriel für Farben,
- •Elektrische Isolierungen (Luft-u. Raumfahrt) und Isolierlacke
- •Elastische Kontaktplatten (Inselartig mit Rußpartikeln dotierter, leitender Silikongummi)
- Schmierstoffe (Öle und Fette)

Anwendungen in der Medizintechnik Stand 2008:

- •Rohrleitungen und Ventile
- Provisorischer Hautersatz, Operationshilfsmittel
- Fingergelenke
- Prothesen
- ·Künstliche Sphincter

Besondere Eigenschaften

Eigenschaften, die das Material für spezielle Konstruktionszwecke vorteilhaft anwendbar machen:

- •Breiter thermischer Arbeitsbereich
- •Biologische Indifferenz und Transparenz
- Chemische Beständigkeit
- •Elektrische Isolation oder gezielter Widerstand
- Optische Eigenschaften
- •Variabilität der mechanischen Eigenschaften

DIE MECHANISCHEN EIGENSCHAFTEN

sind für die Konstruktionstechnik die wichtigsten Kenngrößen.

Zug, Druck-und Schär- festigkeit Statisches Elastizits- modul Haftfähigkeit zu/an verschidenen Materialien und mit unterschiedlicher Oberflächen- beschaffung	Temperatur- und Frequenz abhängiges dynamisches Elastizitäts- modul	Bruch- und Dehnfestigkeit bei Wechselbean- spruchungen	Riß- fort- pflanz- ung
---	---	---	---------------------------------

Fragen,

die durch unsere Forschung beantwortet wurden:

- 1. Dehnungs-Spannungsanalyse
 - Zugversuche an mehr als 400 Silicon-Probekörper unterschiedlicher Hersteller, Zusammensetzung und Sh-Härte.
 Ermittlung des dynamischen Materialmodells für die FEM-Analysen
 - Ist der Zusammenhang zwischen der Härte des Materials und des Verlaufes des Spannungs-Diagrammes nachweisbar?
 - Nichtlineares Materialmodell (Kriechen, Relaxation)
 - Einfluss der Technologie (Preßverfahren Gießen) auf die mechanischen Eigenschaften
- 2. DMA Analyse

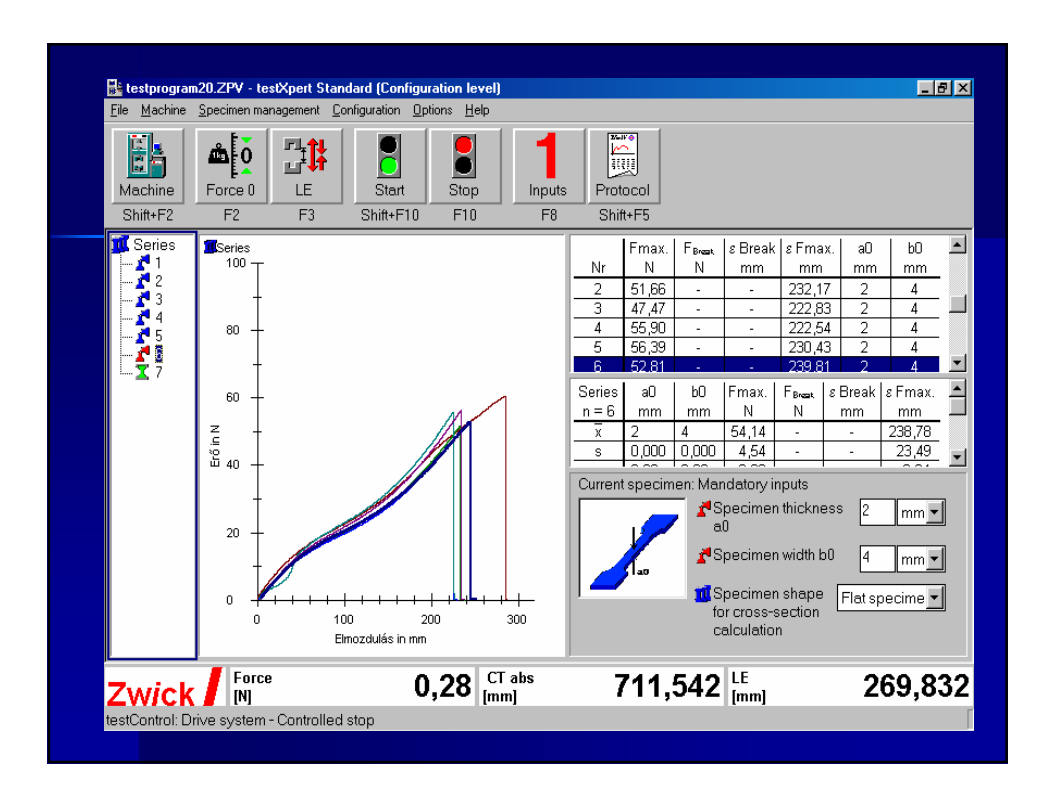
Temperaturbereich -160 °C és +70 °C und Frequenzbereich

- 0 50 Hz. Wie verhält sich das Material dynamisch?
- 3. Ist der allgemein verwendete Zusammenhang von Williams-Landel-Ferry für viskoelastische Polymere auch bei Silikongummi gültig?

HAUPTURSACHE

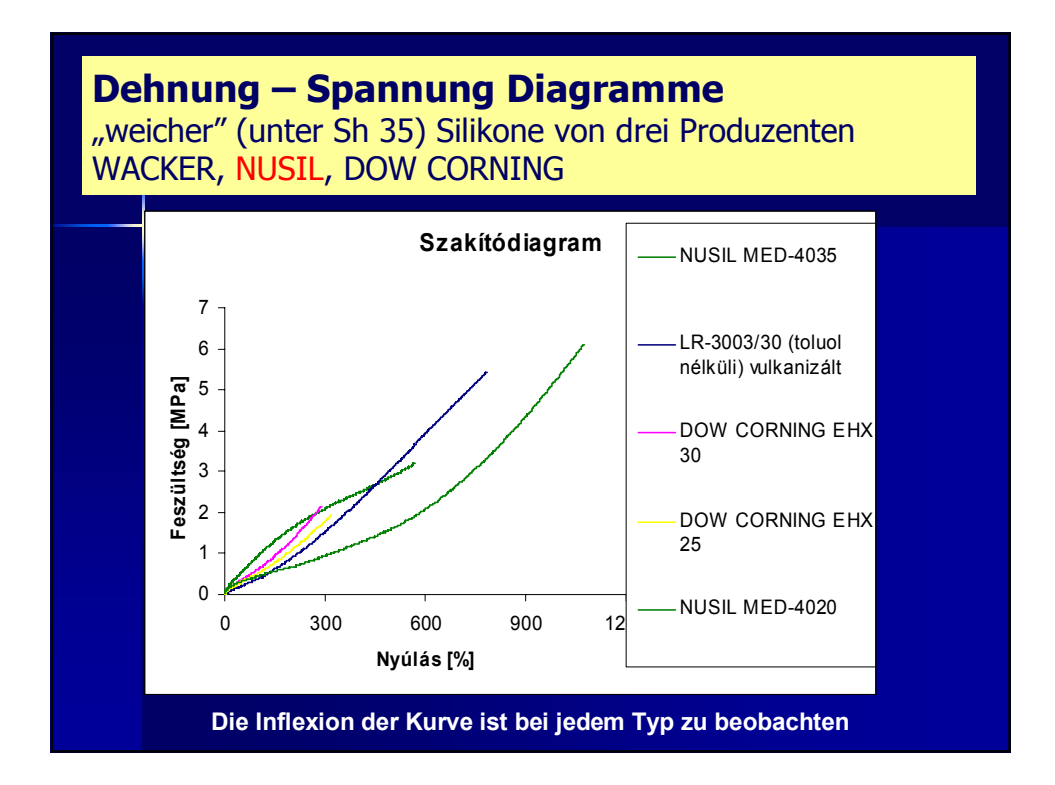
DER UNTERSUCHUNGEN DER MECHANISCHEN MATERIALEIGENSCHAFTEN:

- •VIELFALT DER MATERIALEIGENSCHAFTEN
- •HOHE WERKZEUGKOSTEN
- **•SIMULATION DER BEWEGUNGEN**
- •SIMULATION DER FESTIGKEIT



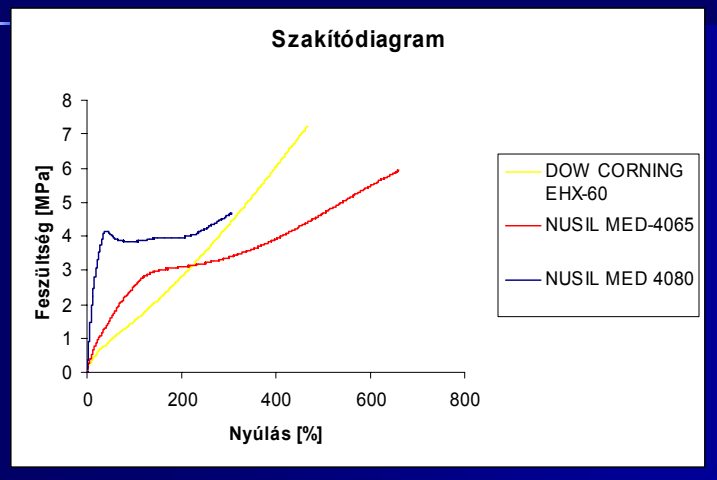


Ergebnisse der Spannung -Dehnungsanalyse Zusammenfassendes Diagramm der untersuchten Silikone WACKER - PRESSVULKANISIERT 10 ◆ LR3003/20-IGET - R4105/40-Stress [MPa] **IGET** -LR3003/60-**UNGET** -LR3003/80--A-B-UNGET 100 150 200 Time [s]



Dehnung – Spannung Diagramme

"härterer" (Sh 60, 65 und 80) Silikone von zwei Produzenten NUSIL, DOW CORNING



Bei den Typen NUSIL MED-65 és 80 ist der konkave Verlauf nicht zu sehen

Technologien und Konstruktion

Formgebung direkt:

Druck + Wärme \rightarrow Äußerer und innerer Werkzeug

- Pressvulkanisierung
- Extrudierung
- Spritzgussverfahren

Tauchverfahren → Kern-Werkzeug

Strukturierung für Konstruktionszwecke:

- Faserverstärkung
- UV-Bestrahlung
- Geometrische Anisotropie

Vergleich der Technologien Vorbereitung der Probekörper (Multifunktionales Werkzeug: Pressvulkanisation und Gießen)



Gießverfahren:

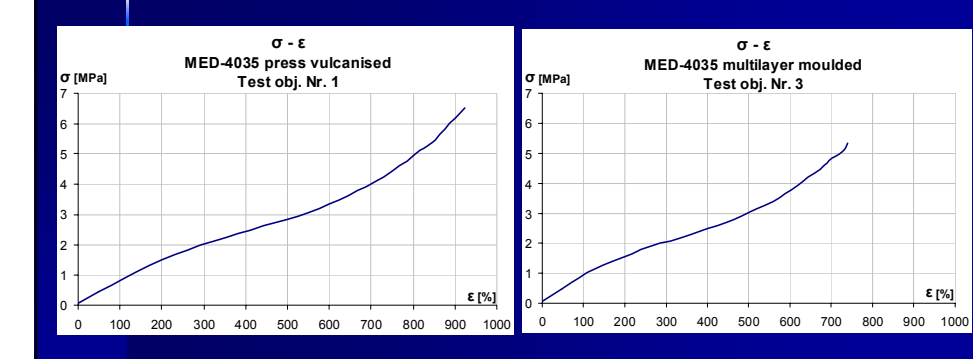
Schichtweise anwachsen

FAZIT: "Fertig-Gießen" nicht möglich

Ein interessanter Versuch...



Die Ergebnisse der Zugversuche sind unerwartet...



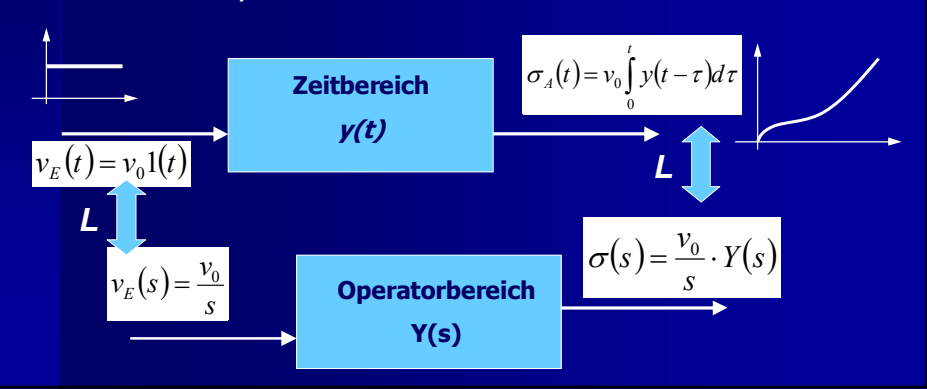
Folgerungen auf Grund der bisherigen Untersuchungen für die Ersetzbarkeit der Produkte

- 1. Die "weichen" Silikone (unter Sh 40) Wacker, Nusil und DowCorning zeigen ähnliche mechanische Eigenschaften
- 2. Bei den "härteren" Silikonen konnte das ähnliche Verhalten nur im Bereich der kleinen Formänderungen nachgewiesen werden. Unter Umständen können die medizinischen Nusil Silikone über Sh 50 für Versuchszwecke nicht mit einfachen "Industrie"-Silikonen ersetzt werden.

Ermittlung des dynamisches Materialmodells

Unser neues Verfahren basierend auf Informationstechnik:

Anwendung der Netzwerktheorie zum Auffinden eines universellen dynamischen Modells



Laplace-Transformierte der Dehnungskurve als Systemantwort (Ausgang)

Mittelwert der Zeitfunktionen der Dehnungsversuche:

$$\sigma(t) = 0.932 \, l(1 - e^{-0.1144t}) + 0.0002447t^2$$
 [MPa]

(Matematica 3.0)

Laplace-Transformierte Form:

$$\sigma(s) = \frac{0.00005598 + 0.0004894s + 010664s^2}{s^3(0.1144 + s)} = \frac{b_0 + b_1 s + b_2 s^2}{s^3(\sigma_0 + s)}$$

Übertragungsfunktion des berechneten Admittanz-Netzwerkes:

$$G^*(s) = A_0 \cdot Y(s) = A_0 \cdot L\{\sigma(t)\} \cdot \frac{s}{v_0} = \frac{A_0}{v_0} \cdot \frac{b_0 + b_1 s + b_2 s^2}{s^2(\sigma_0 + s)}$$

Schaltungsentwurf mit Partialbruchzerlegung

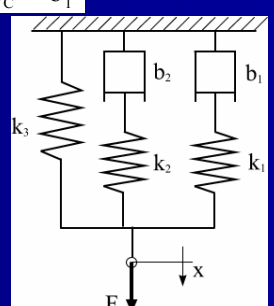
 $\sigma_1 = 0$ Ein trivialer Wurzel "zu viel" wird ersetzt: $\sigma_1 = -0.002667$

$$G(s) = \frac{A_0}{v_0} \frac{b_0 + b_1 s + b_2 s^2}{s(\sigma_1 + s)(\sigma_0 + s)} = \frac{A_0}{v_0} \frac{0.00005598 + 0.0004894s + 0.10664s^2}{s(0.002667 + s)(0.1144 + s)}$$

$$G(s) = \frac{A}{s} + \frac{B}{s + \sigma_0} + \frac{C}{s + \sigma_1} = \frac{k_A}{s} + \frac{1}{\frac{s}{k_B} + \frac{1}{b_0}} + \frac{1}{\frac{s}{k_C} + \frac{1}{b_1}}$$

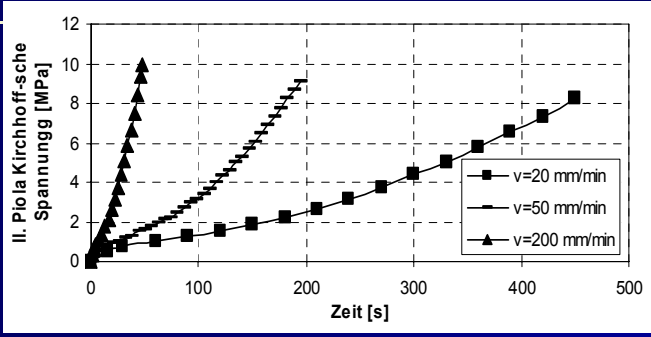
Eine mögliche Variante:

 $\begin{aligned} k_1 &= 1.1267 & [N/mm] \\ k_2 &= -1.9201 & [N/mm] \\ k_3 &= 1.8937 & [N/mm] \\ b_1 &= 9.8490 & [Ns/mm] \\ b_2 &= -720.01 & [Ns/mm] \end{aligned}$



Nichtlineares Materialmodell

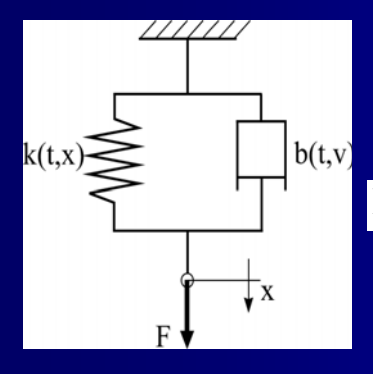
TYPISCHE EIGENSCHAFTEN DER KUNSTSTOFFE: KRIECHEN UND RELAXATION



Die Dämpfungskonstante ist eine explizite Funktion der Ziehgeschwindigkeit und der Zeit: /b(v,t)/

Die Federsteifigkeit ist eine explizite Funktion der Dehnung und der Zeit: /k(x,t)/

Allgemeines, nicht autonomes, dynamisches Modell



Gleichung bei Gleichgewicht:

$$F(t) = k(t,x) \cdot x(t) + b(t,v) \cdot v(t)$$

Nichtlineares Kelvin-Voigt Modell

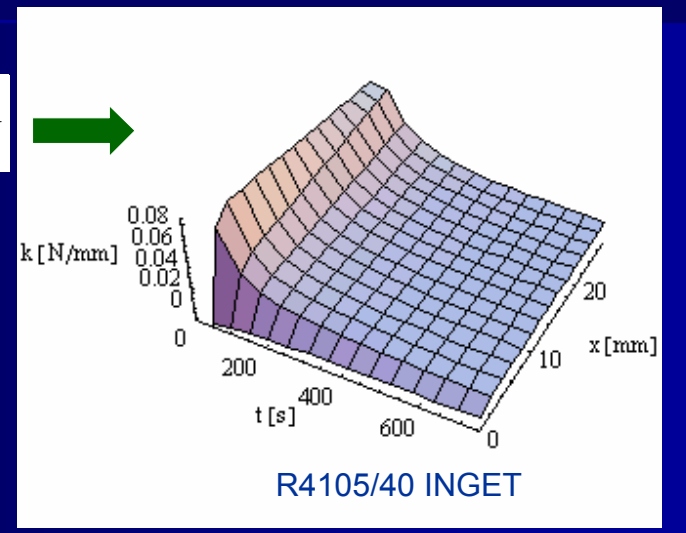
Ergebnisse der Versuche für Spannungsrelaxation

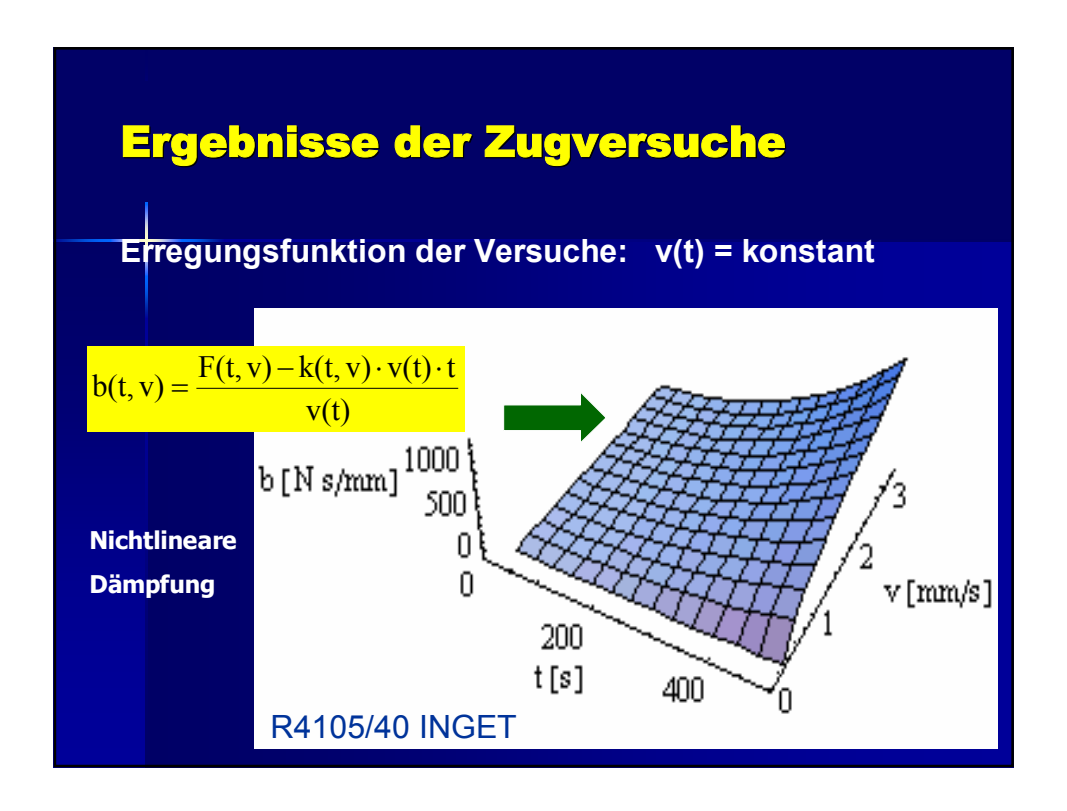
$$k(t, x) = \frac{F(t, x)}{x(t)}$$

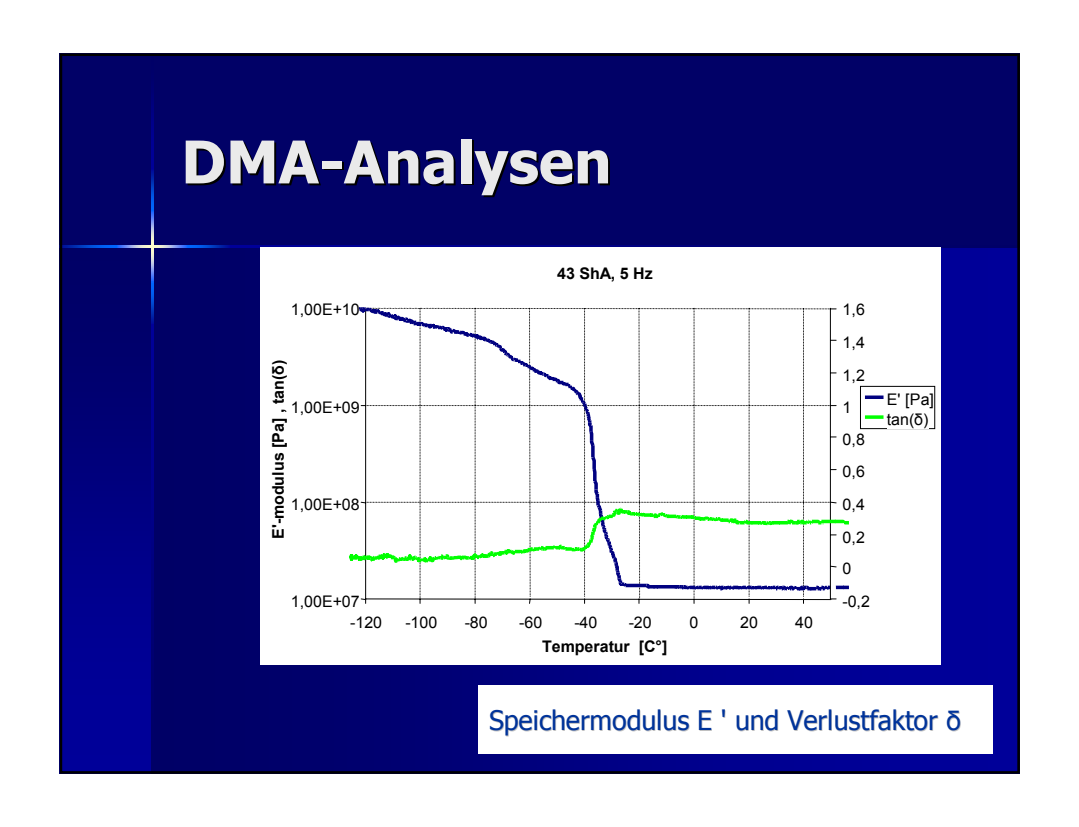
Nichtlineare Federsteifigkeit wird zuerst bestimmt

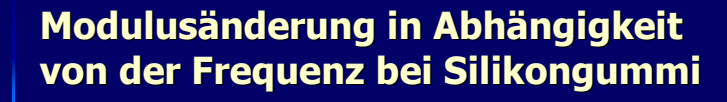
bei

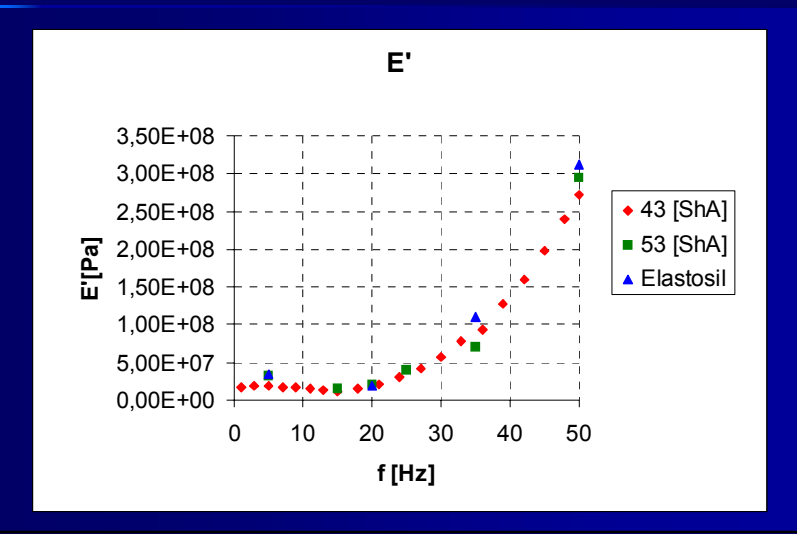
v(t)=0









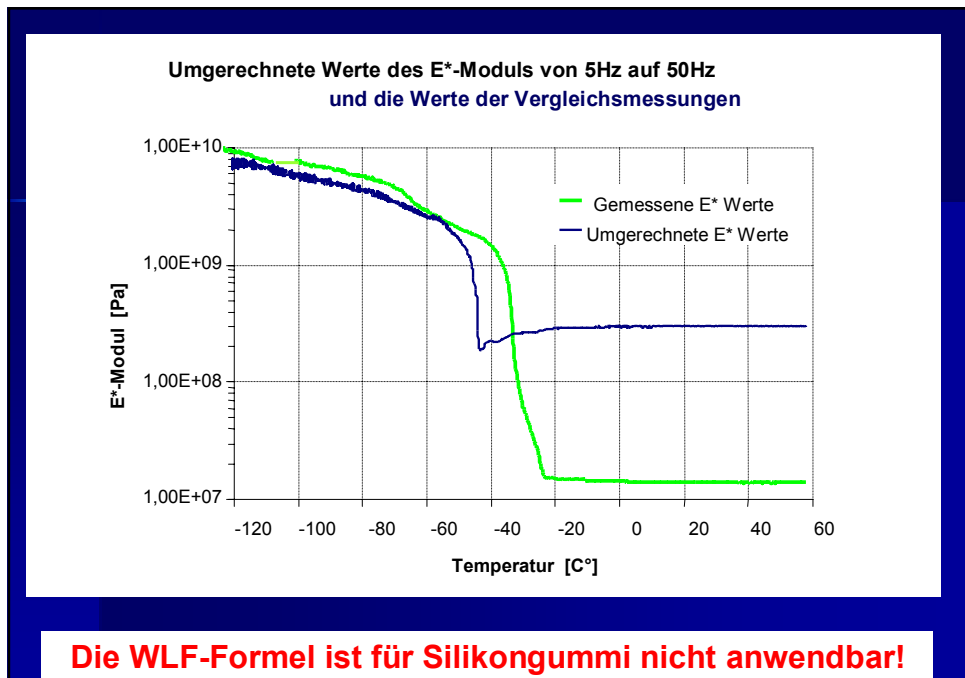


Williams-Landel-Ferry-Formel

$$\log a_{T} = \frac{c_{1} \cdot (T - T_{0})}{c_{2} + (T - T_{0})}$$

$$a_T = \frac{f}{f_0}$$

 c_{1g} = -17,44 és c_{2g} = 51,6C° für die meißten Polymere

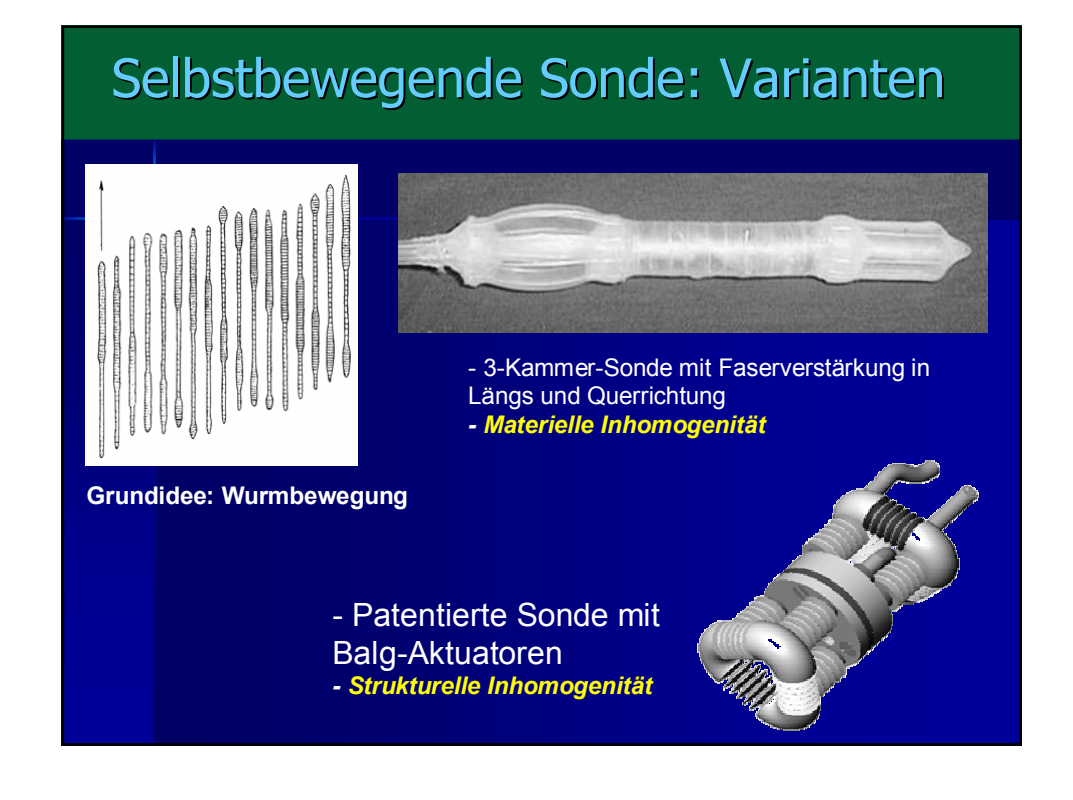


The train of the fact of the state of the st

Spezielle Konstruktionen aus unserer Forschung

- Dehnungssensor (optisch, elektrisch)
- Magnetischer Aktuator
- Hohlraumsonde
- Robotgreifer
- Implantate
- Op-Hilfsmittel



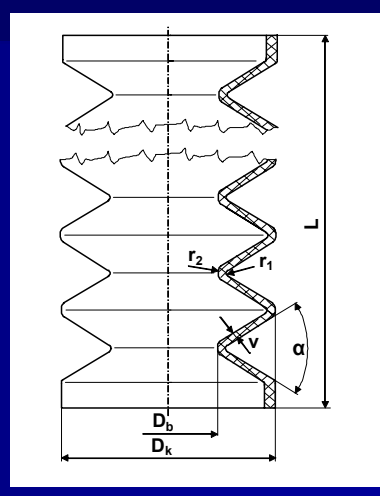


BALG-AKTUATOR

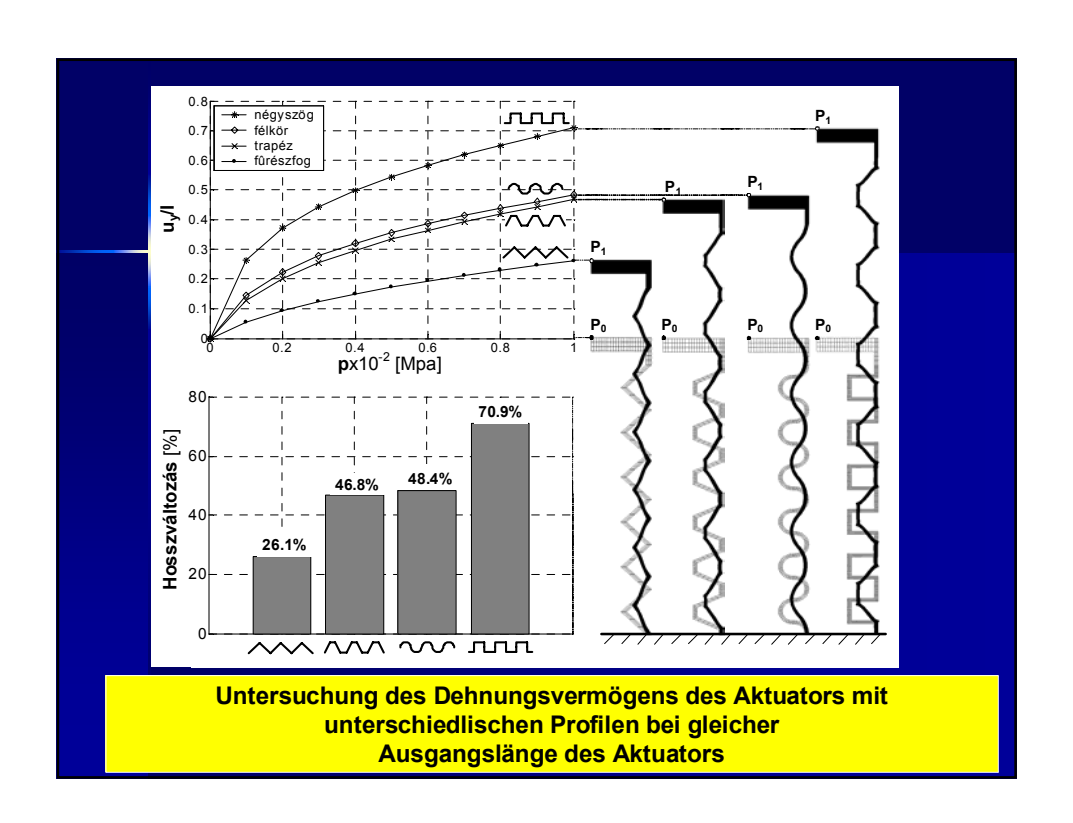
- -Formänderung durch Strukturelle Inhomøgenität ist günstiger
- -Balg als aktuator für gezielte Formänderungen
- -Optimierung des Bewegungsbereiches unter Berücksichtigung der mechanischen Stabilität -Betätigung mit Luft oder mit Flüssigkeit

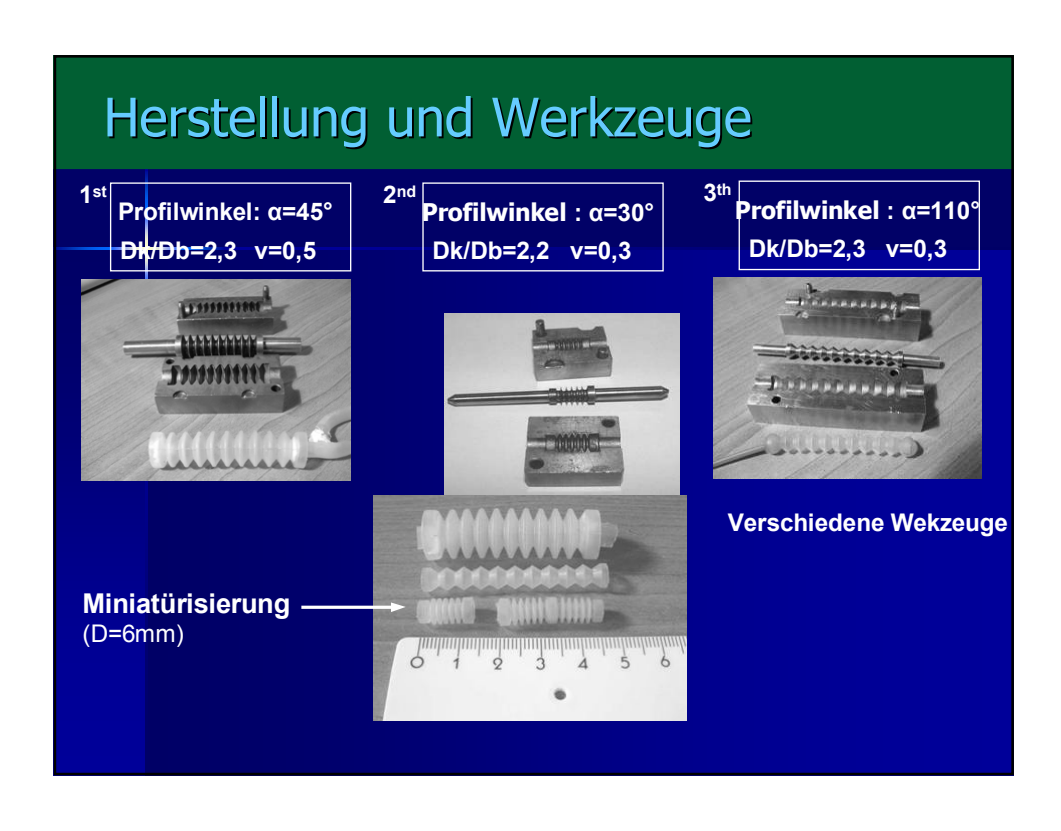


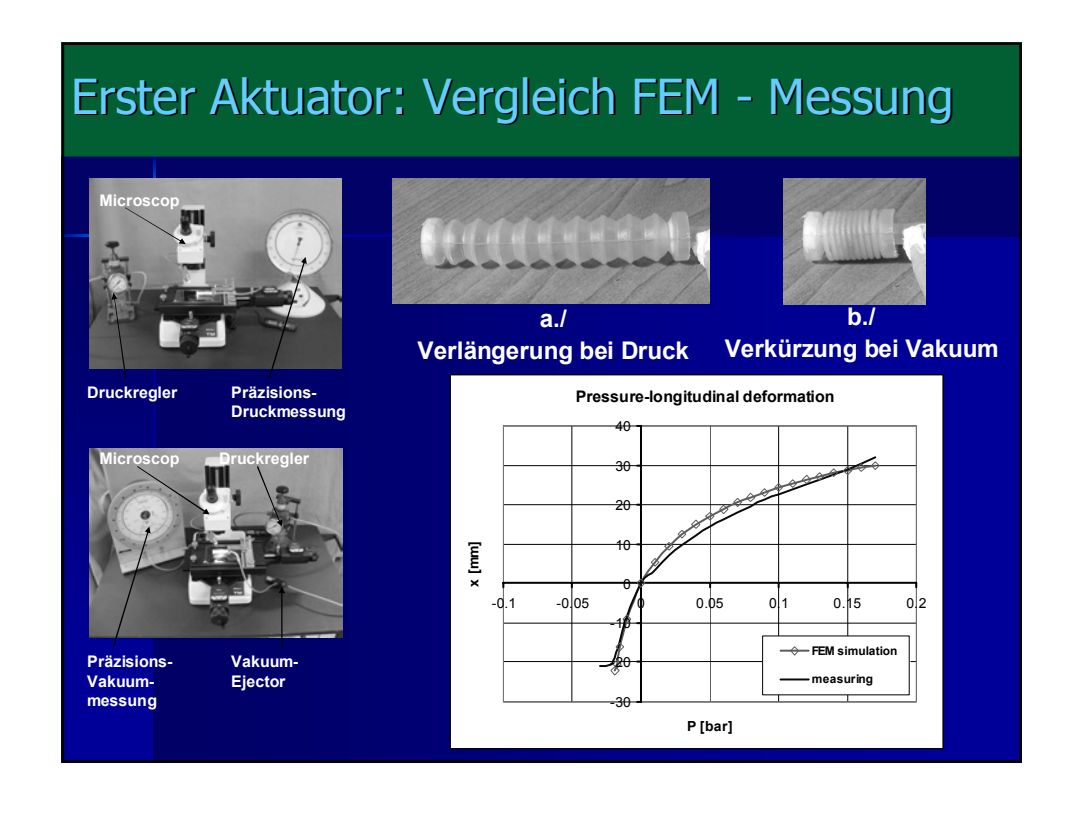
3D Modell des Aktuators

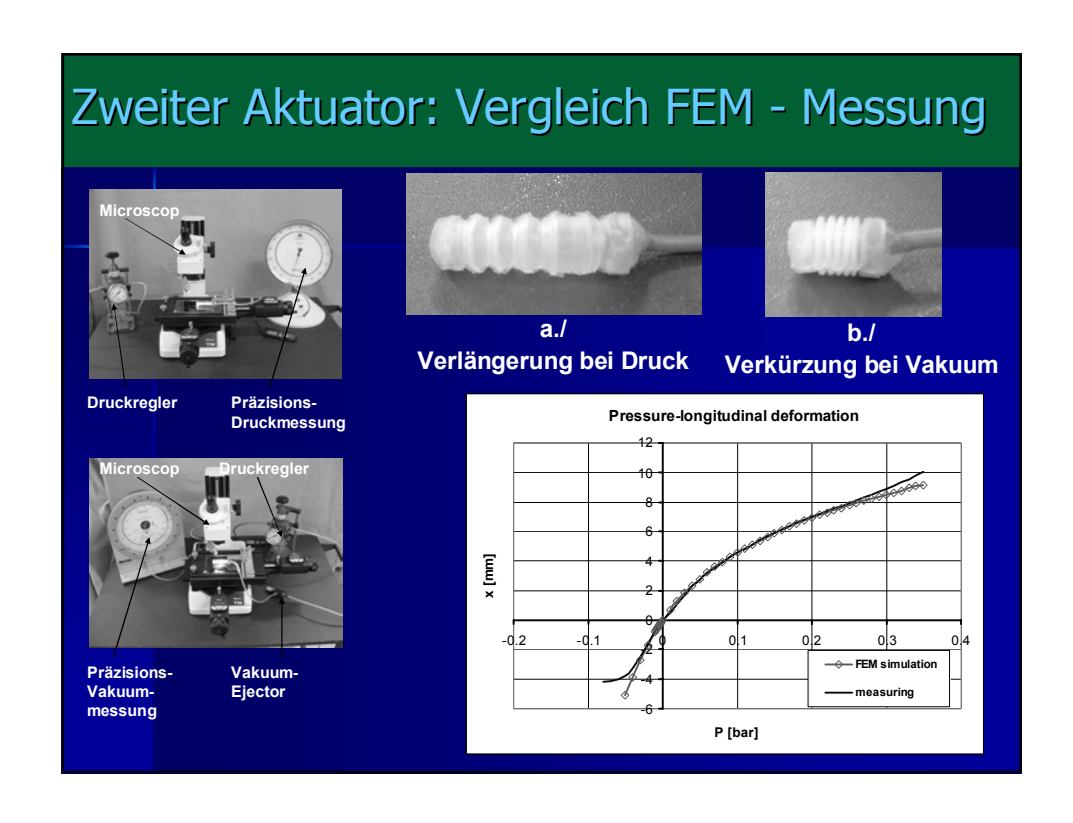


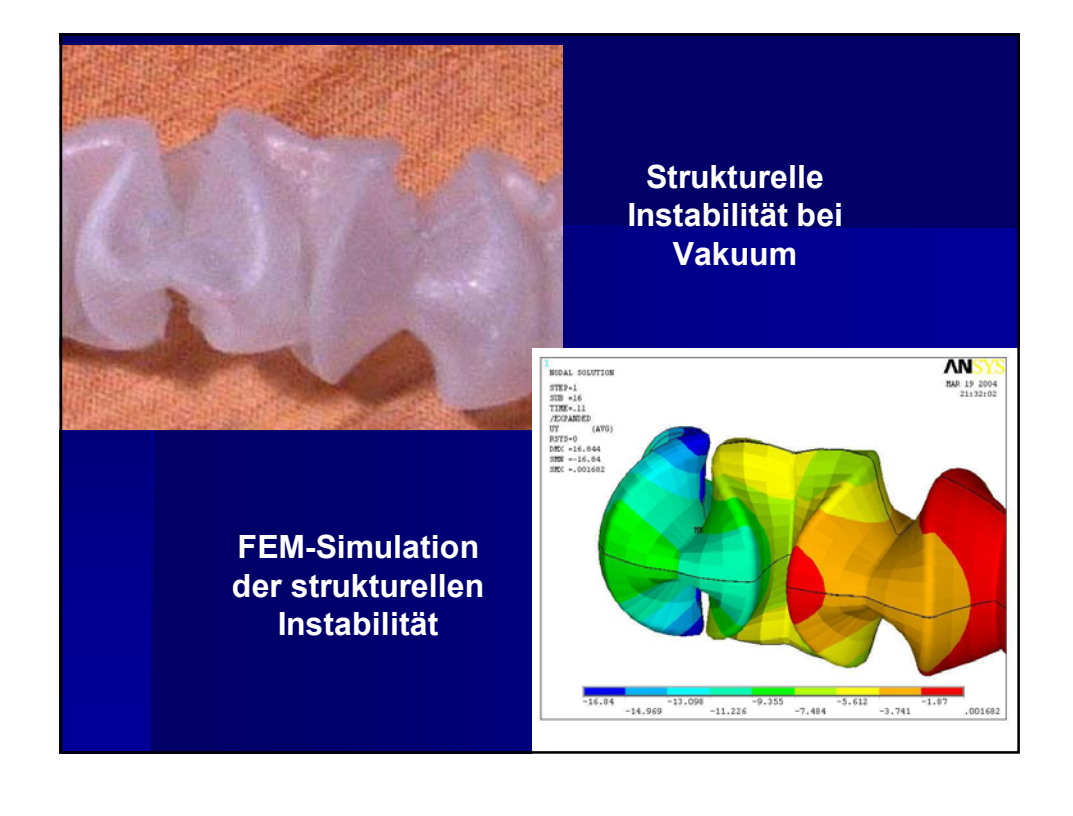
Die wichtigsten geometrischen Parameter



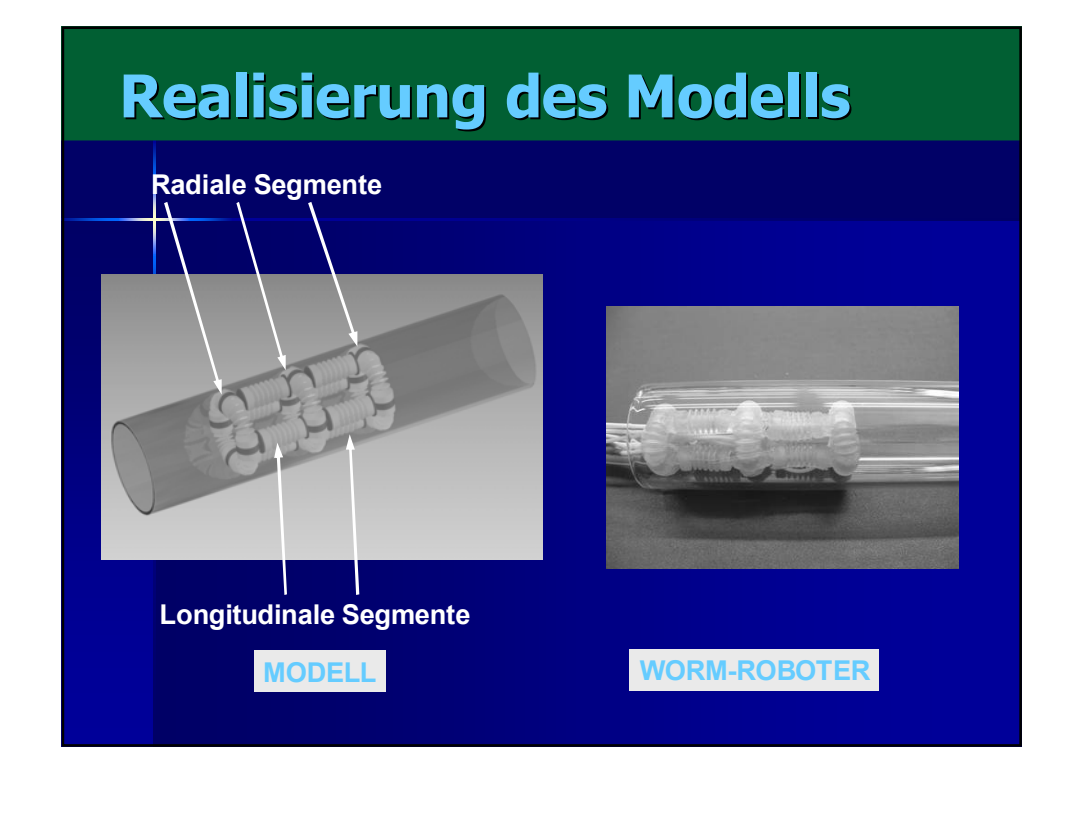


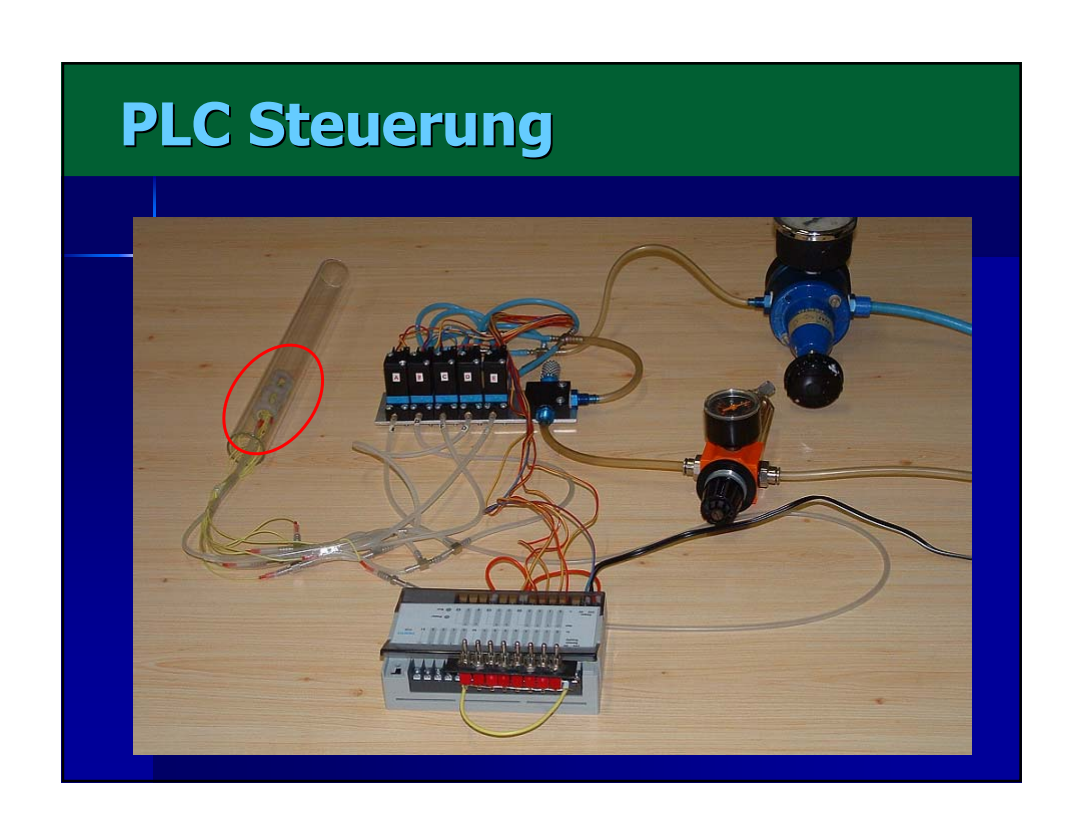






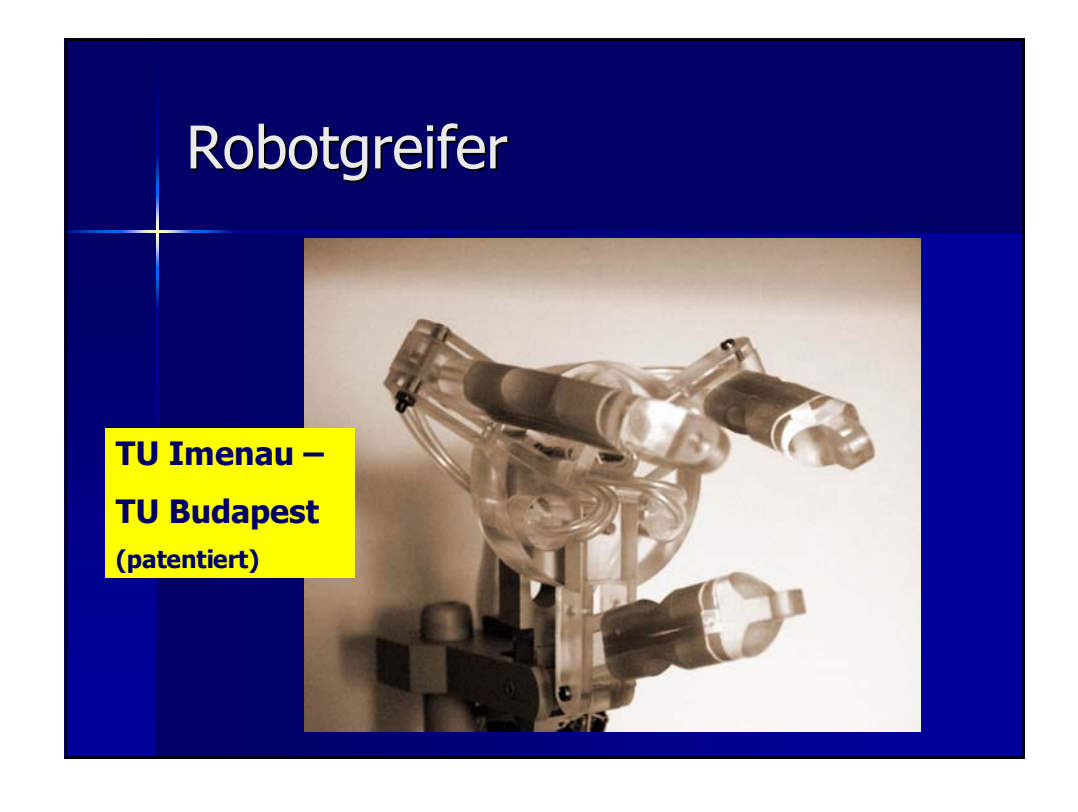
HOHLRAUMSONDE ("WURM"-ROBOTER)







BIONISCHER GREIFER



FLUIDISCHER SOFT-GREIFER (Kooperation mit der TU Ilmenau) Simulation des Greifens bei einem Fingergreifer mit Faserverstärkung Modellierung des Einflusses der Faserverstärkung Deflection of the actuator with inner pressure De-10 mm, d=6 mm, |= 100 mm Deflection of the actuator with inner pressure De-10 mm, d=6 mm, |= 100 mm Deflection of the actuator with inner pressure De-10 mm, d=6 mm, |= 100 mm Deflection of the actuator with inner pressure De-10 mm, d=6 mm, |= 100 mm Deflection of the actuator with inner pressure De-10 mm, d=6 mm, |= 100 mm Deflection of the actuator with inner pressure De-10 mm, d=6 mm, |= 100 mm De-10 mm, d=6 mm,

